

чески активное состояние [4]. Таким образом, если действительно уменьшение $N_{\text{O}}^{\text{opt}}$ и $N_{\text{C}}^{\text{opt}}$ связано с образованием комплексов типа Mn—O или Mn—C, то именно распад их может обеспечивать описываемые явления, причем чем больше $N_{\text{O}}^{\text{opt}}$ в образце, тем больше образовалось при диффузии Mn комплексов типа Mn—O и тем дольше идет их распад при НТО (см. рисунок).

Надо отметить, однако, что термообработка приводит к увеличению (возврату) оптически активного кислорода почти до исходной величины и не вызывает восстановления оптически активного углерода. По-видимому, комплекс типа Mn—O является более термостабильным.

Методами рентгеновской топографии и электронной микроскопии обнаружена дополнительная фаза в этих образцах Si, которая при типичном режиме введения Mn представляет собой частицы неопределенной формы (размером $\sim 500 \text{ \AA}$), большой плотности ($\sim 10^{10} \text{ см}^{-3}$) [7].

Были проведены предварительные эксперименты по определению фазового состава этих частиц методом рентгеноструктурного анализа (ДРОН-1М). На дифрактограммах обнаружен пик, параметры которого по таблицам ASTM совпадают с силикатом марганца (предположительно MnSiO_3). Кроме того, в этих спектрах обнаружен пик, идентифицировать который пока не удалось, возможно, он связан с углеродными комплексами марганца.

Список литературы

- [1] Carlson O. R. // Phys. Rev. 1959. V. 104. N 4. P. 937—941.
- [2] Болтакс Б. И., Бахадырханов М. К., Городецкий С. М., Куликов Г. С. Компенсированный кремний. Л., 1972. 122 с.
- [3] Абдурахманов К. П., Лебедев А. А., Крейслер Й., Утамурадова Ш. Б. // ФТП. 1985. Т. 19. В. 2. С. 213—216.
- [4] Абдурахманов К. П., Витман Р. Ф., Далиев Х. С., Лебедев А. А., Утамурадова Ш. Б. // ФТП. 1985. Т. 19. В. 6. С. 1158—1159.
- [5] Абдурахманов К. П., Лебедев А. А., Утамурадова Ш. Б. // Вестн. Каракалпакского филиала АН УзССР. 1985. № 4. С. 10—13.
- [6] Parkins W. E., Dienes G. I., Brown F. W. // J. Appl. Phys. 1951. V. 22. P. 1012—1018.
- [7] Витман Р. Ф., Гусева Н. Б., Лебедев А. А., Ситникова А. А., Утамурадова Ш. Б. // ЖТФ. 1988. Т. 58. В. 11. С. 2272—2274.

Физико-технический институт
им. А. Ф. Иоффе АН СССР
Ленинград

Получено 27.06.1989
Принято к печати 10.07.1989

ФТП, том 23, вып. 12, 1989

СВОЙСТВА СИЛЬНО ЛЕГИРОВАННЫХ КРИСТАЛЛОВ $\text{InP}\langle\text{Yb}\rangle$ и $\text{InP}\langle\text{Er}\rangle$

Мастеров В. Ф., Савельев В. П., Штельмак К. Ф., Захаренков Л. Ф.

В литературе по $\text{A}^{\text{III}}\text{B}^{\text{V}}$, легированных редкоземельными элементами (РЗЭ), утверждалось мнение, что предельная концентрация атомов РЗ в этих полупроводниках не превышает 10^{17} см^{-3} . Это, безусловно, должно привести к ограничению возможных применений указанных материалов, в частности в качестве источников света на внутрицентровых $f-f$ -переходах.

В настоящей работе мы показываем, что в принципе концентрация атомов РЗЭ в фосфиде индия, занимающих узельные положения в решетке, составляет по крайней мере $5 \cdot 10^{19} \text{ см}^{-3}$ (и, возможно, это не является пределом), что позволяет вновь поставить вопрос о возможности создания на основе этого материала когерентных и некогерентных источников излучения в области длин волн $1-1.5 \text{ мкм}$.

Исследовался материал, полученный при синтезе из раствора-расплава. Легирование осуществлялось в процессе роста. Максимальные концентрации

атомов РЗЭ в позиции замещения индия с окружением, близким к кубическому, составляли $5 \cdot 10^{19}$ (Yb) и $1 \cdot 10^{18}$ см $^{-3}$ (Er). Оценка концентрации ионов Yb $^{3+}$ и Er $^{3+}$ осуществлялась методом ЭПР. Спектры электронного парамагнитного резонанса приведены на рис. 1, а, б. Параметры спектров практически совпадают с опубликованными в [1, 2]. InP<Er> представлял собой крупноблочный образец (в [2] исследовался поликристалл), и в спектре ЭПР Er $^{3+}$ наблюдалась угловые зависимости g -фактора и ширины линии, но из-за наложения спектров от разных блоков уточнить параметры спин-гамильтониана не удалось. Можно утверждать, однако, что оба центра Yb $^{3+}$ и Er $^{3+}$ имеют симметрию, близкую к кубической. Ширина линии центрального перехода ($I=0$) не превышала в обоих случаях 12 Гц.

На образцах InP<Er> внутрицентровую люминесценцию зарегистрировать не удалось при температурах 6–300 К, хотя ранее она наблюдалась на ионно-

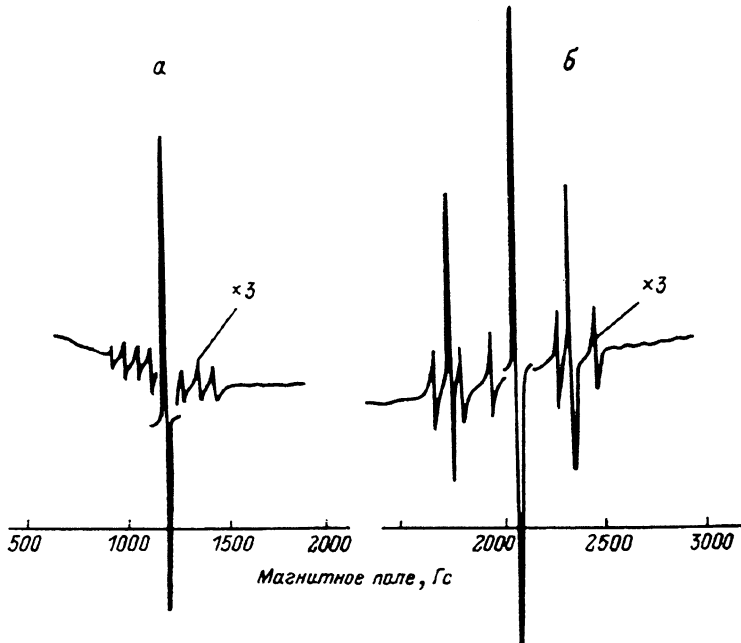


Рис. 1. Спектры ЭПР Er $^{3+}$ (а) и Yb $^{3+}$ (б) в фосфиде индия при 4 К.

имплантированных образцах InP, GaP, GaAs и Si, на GaAs, выращенном по методу Бриджмена, и в кремнии, полученном методом молекулярно-пучковой эпитаксии [3]. Вопрос об отсутствии люминесценции в наших образцах фосфida индия при наличии узельных центров Er $^{3+}$, установленных методом ЭПР, остается открытым. Можно предположить, что это связано с особенностями механизма возбуждения внутрицентровой $f-f$ -фотолюминесценции в полупроводниках при энергии возбуждающего кванта $\hbar\omega \geqslant E_g$, который до настоящего времени не разработан.

Напротив, в образцах InP<Yb> наблюдалась внутрицентровая люминесценция в области $\lambda \simeq 1$ мкм как при 6, так и при 77 К, интенсивность которой значительно превышала «краевую» люминесценцию (рис. 2). Форма спектра фотолюминесценции полностью совпадает с наблюдавшей ранее, в частности, на ионно-имплантированных образцах [3]. Интенсивность $f-f$ -люминесценции Yb $^{3+}$ линейно возрастает с увеличением интенсивности возбуждающего света (см. вставку на рис. 2), т. е. даже при столь высоких концентрациях Yb $^{3+}$ в кристаллах InP стимулированного излучения не наблюдается.

Таким образом, можно сформулировать основной результат, полученный в данной работе: предел растворимости атомов РЗЭ, в частности Yb, гораздо выше предлагаемого ранее и составляет не менее $5 \cdot 10^{19}$ см $^{-3}$. При этом иттербий занимает узельные позиции в решетке фосфida индия и находится в состоянии

Yb^{3+} в кубическом окружении, что позволяет рекомендовать такой материал для создания полупроводниковых источников света с узкой полосой излучения в области 1 мкм.

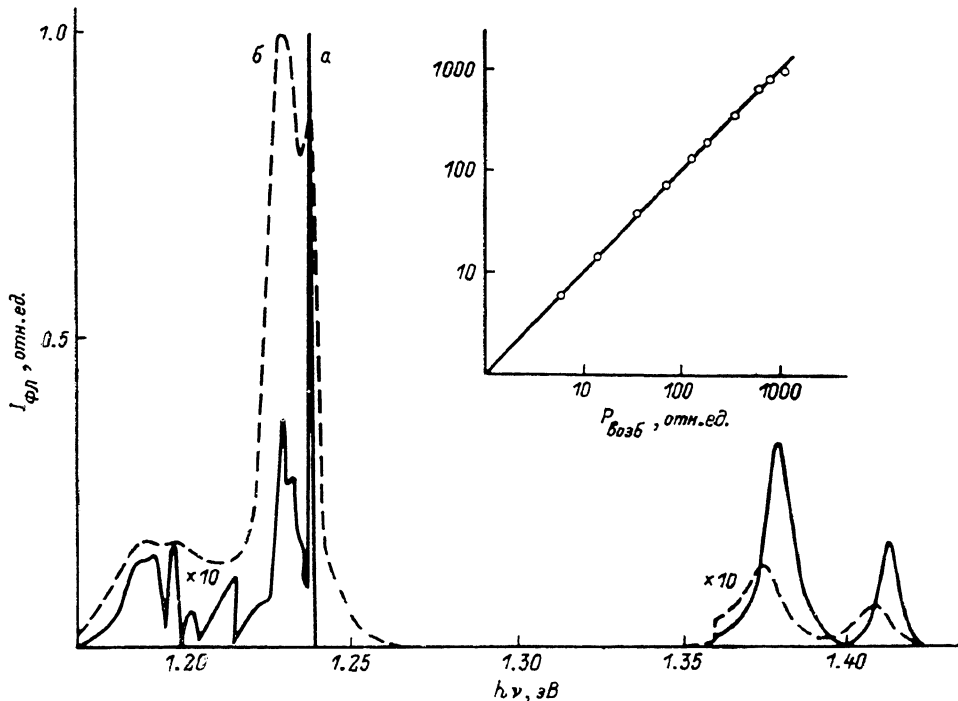


Рис. 2. Спектры фотолюминесценции монокристалла $\text{InP}(\text{Yb})$ при 6 (a) и 77 К (b).

$\lambda_{\text{возб}}=0.5145$ мкм. На вставке — зависимость интенсивности внутрицентрового $f-f$ -перехода от интенсивности возбуждающего света.

В заключение отметим, что образцы фосфида индия с высокой концентрацией иттербия имели большое сопротивление. Возможной причиной этого является эффект рафинирования материала небольшой частью иттербия, не встроившегося в решетку InP.

Список литературы

- [1] Касаткин В. А., Мастеров В. Ф., Романов В. В. и др. // ФТП. 1982. Т. 16. В. 1. С. 173—175.
- [2] Мастеров В. Ф., Штельмах К. Ф., Захаренков Л. Ф. // ФТП. 1987. Т. 21. В. 2. С. 365—366.
- [3] Ennen H., Schneider I. // Proc. 13 Int. Conf. Def. Semicond. / Ed. by L. C. Kimerling, J. M. Parsey. Coronado, California, 1984. P. 115—127.

Ленинградский
политехнический институт
им. М. И. Калинина

Получено 9.07.1989
Принято к печати 14.07.1989